



## طراحی کنترل کننده به روش یادگیری تقویتی برای یک اوکتارو تور پیشنهادی با زاویه بازو های متغیر

دادود شریفی<sup>۱</sup>، محسن ایرانی رهقی<sup>۱</sup>، کیوان ترابی<sup>۲\*</sup>، حامد شهبازی<sup>۲</sup>

۱- دانشکده مهندسی مکانیک، دانشگاه کاشان، کاشان، ایران

۲- دانشکده مهندسی مکانیک، دانشگاه اصفهان، اصفهان، ایران.

### تاریخچه داوری:

دریافت: ۱۴۰۱/۰۸/۱۱

بازنگری: ۱۴۰۲/۰۷/۲۶

پذیرش: ۱۴۰۲/۰۱/۱۸

ارائه آنلاین: ۱۴۰۲/۱۱/۰۱

### کلمات کلیدی:

اوکتارو تور با زاویه بازو های متغیر

یادگیری تقویتی

تعقیب مسیر

درجات آزادی مستقل

اختلال در عملکرد موتورها

**خلاصه:** تحرک یک پرنده کوادرو تور با اوکتارو تور در پیکربندی استاندارد به دلیل موادی بودن بردارهای نیروی روتورها محدود است و آنها فقط دارای چهار درجه آزادی فعال هستند. بنابراین قابلیت کنترل شش درجه آزادی به صورت مستقل برای آنها وجود ندارد. در این پژوهش یک ساختار و پیکربندی جدید برای یک اوکتارو تور طراحی می گردد تا برخلاف پرنده های با ساختار استاندارد که تنها در حالت افقی میتوانند در یک محل مشخص معلق مانند، قابلیت معلق ماندن با زوایای رول یا پیچ در یک موقعیت مشخص را داشته باشند، به معنی دیگر در این پرنده علاوه بر دنبال کردن موقعیت، دنبال کردن جهت گیری نیز به اهداف پرنده اضافه شده است. در مدل پیشنهادی می توان از تعییر در سرعت هشت روتور و تعییر در زاویه چهار بازو برای کنترل بهره برد، در واقع این سرعت ها و زوایا به نحوی تعیین می گردد تا قابلیت مانور پذیری پرنده به نحو مطلوب تامین شود. پس از استخراج مدل دینامیکی اوکتارو تور پیشنهادی، یک کنترل کننده با استفاده از شبکه های عصبی و روش یادگیری تقویتی پیشنهاد می گردد که قابلیت کنترل اوکتارو تور پیشنهادی با شش درجه آزادی مستقل را خواهد داشت. در نهایت قابلیت تعقیب مسیر و وضعیت اوکتارو تور بررسی شده و نتایج شبیه سازی های عددی ارائه می گردد.

## ۱- مقدمه

حوزه شده است. در ادامه به صورت مختصر تاریخچه ای از این مطالعات بیان می گردد.

بارباراسی با ایجاد یک ساختار هندسی متغیر، دینامیک یک کوادکوپتر را مورد بررسی قرارداده و مزایای استفاده از تعییرات هندسه را مورد بررسی قرار می دهد. ایشان تاثیر زاویه بازوها (بازوها در یک صفحه قرار دارند و حول محور بازو دوران می کنند) بر دینامیک پرنده را مورد بررسی قرارداده است. نتایج شبیه سازی بیانگر کاهش قابل توجه دامنه ای ارتعاشات این کوادکوپتر در مقایسه با یک کوادکوپتر با زاویه بازوی ثابت می باشد [۱].

بررسیانینی و همکاران به طراحی یک پرنده با هشت پروانه پرداختند به نحوی که پروانه ها در زوایای مختلف جایگذاری شده اند. قرارگیری پروانه ها به نحوی است که قابلیت ایجاد نیرو و گشتاور در تمامی جهات و درنتیجه حرکت پرنده در ۶ درجه آزادی را داشته باشد. سیستم کنترلی درنظر گرفته شده برای این پرنده به نحوی است که قابلیت کنترل موقعیت و وضعیت به صورت مجزا قابل اجرا باشد [۲]. تادوکورو و همکاران با توجه به آرایش و زاویه پروانه های یک هگزا روتور، به تحلیل قدرت مانور این پرنده بدون

در سال های اخیر انواع مختلف ربات های هوایی از زوایای متنوع مورد بررسی قرار گرفته و پیشرفت های آنها مورد توجه پژوهشگران واقع شده است. کاربرد فراوان پرنده های بدون سرنشین در موقعیت ها و محیط های خطرناک را می توان از دلایل مورد توجه قرار گرفتن این پرنده ها دانست چرا که انسان ها اغلب توانایی نزدیک شدن به محیط های خطرناک که از بلایای طبیعی از قبیل سیل، زمین لرزه، آتش سوزان، طوفان و یا یک خطر هسته ای رنج می برد را ندارند.

از کاربردهای این پرنده ها می توان به بازرگانی و کنترل مرزها، ماموریت های نظامی، ماموریت های شناسایی، حمل بار، عکس برداری، عملیات جستجو، کشف آتش سوزی ها، استفاده در محیط های خطرناک و غیر قابل دسترس، بازدید و بازرگانی از خطوط انتقال نفت و خطوط فشار قوی اشاره کرد. نیاز به پایداری پرنده در شرایط محیطی مختلف و در تمامی کاربردهای مذکور سبب ایجاد تیمهای تحقیقاتی و اجرای مطالعات در این

\* نویسنده عهده دار مکاتبات: k.torabi@eng.ui.ac.ir

حقوق مؤلفین به نویسندها و حقوق ناشر به انتشارات دانشگاه امیرکبیر داده شده است. این مقاله تحت لیسانس آفرینندگی مردمی (Creative Commons License) در دسترس شما قرار گرفته است. برای جزئیات این لیسانس، از آدرس <https://www.creativecommons.org/licenses/by-nc/4.0/legalcode> دیدن فرمائید.



کننده تناسی انتگرالی استفاده نموده‌اند<sup>[۸]</sup>. زقلاج و همکاران با به کارگیری کنترل کننده‌های مد لغزشی، فازی به طراحی یک کنترل کننده مقاوم در برایر آسیب دیدگی یکی از پروانه‌های یک اوکتاروتور با جفت پروانه‌های هم محور پرداخته اند<sup>[۹]</sup>. هو و همکاران با تبدیل مسئله کنترل سیستم چند ورودی و چند خروجی به مسئله کنترل چند ورودی و یک خروجی و استفاده از تئوری فیدبک کمی<sup>[۱۰]</sup>، به طراحی کنترل کننده مربوط به یک کوادکوپتر پرداخته است<sup>[۱۰]</sup>.

کوئنتینا و همکاران روشی برای طراحی هگزا روتور با قابلیت رد اغتشاشات با استفاده از پروانه‌های زاویه داده شده ارائه داده اند. در این روش استفاده شاخص مقاوم بودن به عنوان اندازه گیری توانایی رد اغتشاشات خارجی و شاخص انرژی به عنوان اندازه گیری انرژی مصرف شده توسط هگزا روتور معلق در هوا پیشنهاد می‌شود. ایشان یک مسئله بهینه سازی چند هدفه ارائه می‌دهند که در آن توابع هدف، شاخص قدرت و شاخص انرژی هستند. این

مسئله با کمک الگوریتم تکاملی با رویکرد پارتی<sup>۱</sup> حل می‌شود<sup>[۱۱]</sup>.

اراسموس و همکاران یک مولتی روتور با یک محموله معلق ناشناخته (جرم بار و طول کابل ناشناخته است و زوایای تاب برای اندازه گیری در دسترس نیست) که اجازه حرکت در یک محور را دارد، در نظر گرفته‌اند. ایشان یک روش کنترل تطبیقی برای به حداقل رساندن اثر بار معلق بر روی پرنده طراحی و پیاده سازی کرده‌اند<sup>[۱۲]</sup>. چن و همکاران به بررسی یک سیستم حمل و نقل هوایی دارای چهار روتور پرداخته‌اند که محموله را با چهار کابل حمل می‌کنند. در این پژوهش تنظیمات پایدار برای نشان دادن مزایای سیستم چهار کابل مورد بحث قرار گرفته و یک کنترل کننده تطبیقی برای حمل بار توسط چهار روتور طراحی شده است<sup>[۱۳]</sup>.

کیس و همکاران به طراحی و پیاده سازی کنترل کننده تطبیقی در حضور اغتشاشات خارجی پرداخته‌اند<sup>[۱۴]</sup>. بی و همکاران یک مدل ساده شده از کوادرورتور را در نظر گرفته‌اند و به منظور کنترل آن از یادگیری تقویتی<sup>[۱۵]</sup> استفاده نموده‌اند. در این مقاله آموزش پرندۀ در دو حالت هاور و تعقیب مسیر پیشنهادی (مسیر دایره‌ای) انجام گرفته است و در ادامه آموزش بر روی یک

کواد روتور واقعی نیز اجرا شده است<sup>[۱۶]</sup>.

سلطانی و همکاران کنترل کوادرورتور حامل مایع را مورد مطالعه قرار داده و کنترل کننده‌ای طراحی نمودند که برخلاف مطالعات پیشین، بدون نیاز به اندازه گیری یا تخمین حالات مایع می‌تواند پایداری کوادرورتور را در انتقال

سرنشین پرداخته اند<sup>[۳]</sup>.

اینورنیزی و همکاران از یک مدل‌سازی مقید باهدف بهبود عملکرد کنترل کننده کوادکوپتر با زوایای روتور متغیر<sup>۱</sup> و اجرای فرایند تعقیب استفاده کرده اند<sup>[۴]</sup>. همچنین ایشان در سال ۲۰۱۸، مدل‌سازی و کنترل یک کوادکوپتر با زاویه بازوی متغیر را مورد بررسی قرار داده و اعتبارسنجی آن را با ساخت و تست مدل واقعی به انجام رسانده‌اند. در این پژوهش از یک کنترل کننده تناسبی-انتگرالی-مشتقی استفاده شده و از توانایی فعال‌سازی سیستم به منظور برطرف کردن مشکل ردیابی مسیر بهره برده شده است<sup>[۵]</sup>. آوارز و نینگ به بررسی قابلیت روش ذرات گرداب چسبناک<sup>۲</sup> برای مدل سازی برهمکنش‌های آیرودینامیکی مولتی روتورها با درنظر گرفتن حجم محاسبات آن می‌پردازند، درواقع یک مدل مولتی روتور مبتنی بر روش ذرات گرداب چسبناک همراه با توصیه‌هایی برای ثبات عددی و کارایی محاسباتی معرفی شده است<sup>[۶]</sup>.

ژو و همکاران برای رفع مشکلات اوکتاروتورهای معمولی با ساختار تک لایه و کواکسیال، یک پیکربندی هشت روتوره جدید بر اساس بررسی اولیه آیرودینامیکی پیشنهاد داده‌اند. در این پژوهش برای دستیابی به یک تحلیل آیرودینامیکی دقیق، تحلیل با پنج مدل مختلف اوکتاروتور با سه پیکربندی متفاوت (از جمله پیکربندی معمولی، پیکربندی کواکسیال و پیکربندی جدید) انجام گرفته است؛ ایشان شبیه سازی دینامیک سیالاتی را برای بررسی تأثیر اندازه تیغه روتور، باد و تداخل بین روتورها بر عملکرد و کارایی پرندۀ اجرا کرده‌اند<sup>[۷]</sup>.

علاوه بر مطالعات انجام گرفته در زمینه‌ی ساختار و چیدمان پروانه‌ها، تحقیقات بر طراحی کنترل کننده مناسب نیز مورد توجه پژوهشگران بوده است. با توجه به کارایی مورد انتظار از پرندۀ در پژوهش‌های انجام گرفته‌انواع مختلف کنترل کننده‌ها مورد بررسی قرار گرفته است. کنترل کننده‌ی مقاوم در برابر نامعینی‌ها یکی از رایج‌ترین موضوعاتی است که به آن پرداخته شده است و در ادامه برخی از این پژوهش‌ها به عنوان نمونه آورده شده است. اسریدهار و همکاران به منظور کنترل حرکات زوایای رول<sup>۳</sup>، پیچ<sup>۴</sup> و یا و<sup>۵</sup> یک کوادرورتور تیلت روتور از روش کنترل مود لغزشی<sup>۶</sup> بهره برده‌اند. ایشان همچنین برای کنترل زوایای تیلت روتورها به صورت مستقل از کنترل

1 Tilt arm

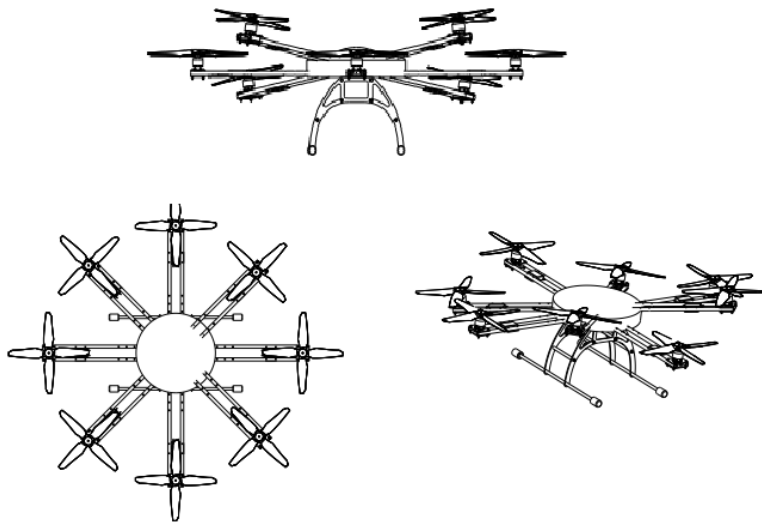
2 viscous vortex particle method (VPM)

3 roll

4 pitch

5 yaw

6 Sliding Mode Control



شکل ۱. شماتیک مدل اوکتاروتور مورد نظر

Fig. 1. Schematic of the octorotor model

پرداخته شده و معادلات دینامیکی سیستم استخراج شده است. سپس مختصراً در خصوص روش یادگیری تقویتی و الگوریتم یادگیری گردایان سیاست گرایی قطعی با تأخیر دوقلو توضیحاتی داده شده و ساختار شبکه‌ی عصبی و نحوه‌ی طراحی کنترل کننده تشریح شده است. درنهایت نتایج شبیه‌سازی عددی و قابلیت مقاوم بودن در برابر تاثیر اختلالات احتمالی در عملکرد پرنده بررسی شده و نتیجه‌های گرفته شده تشریح شده است.

## ۲- ساختار و پیکره‌بندی اوکتاروتور پیشنهادی

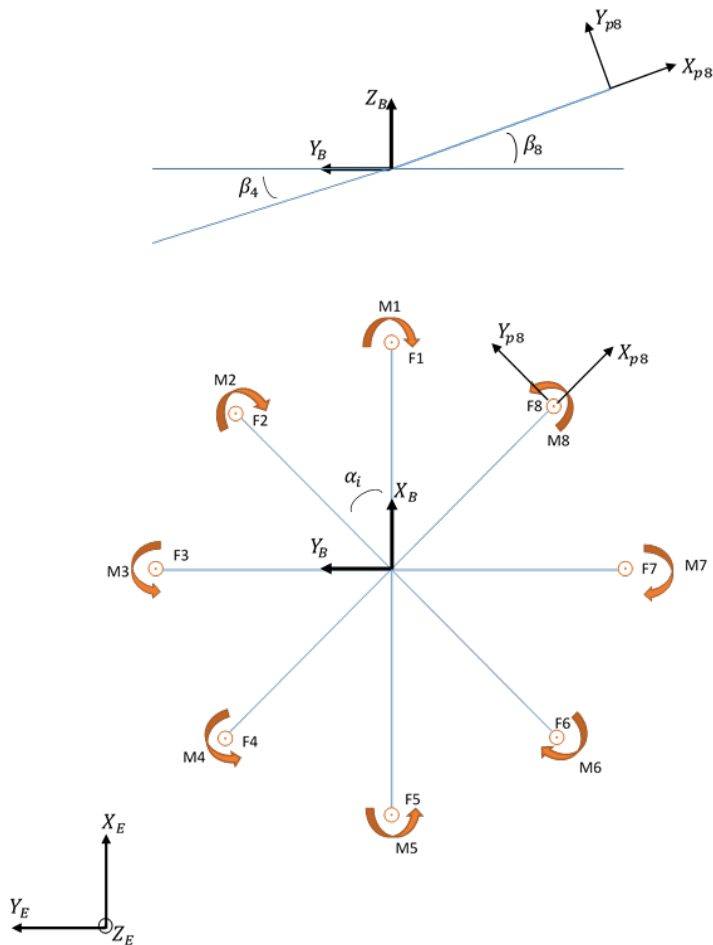
پیکره‌بندی یک اوکتاروتور متداول را در ذهن داشته باشد که در آن تمامی روتورها در یک صفحه قرار گرفته و نیروی تراست حاصل از آن‌ها در یک راستا و به موازات یکدیگر هستند، در اینگونه مدل‌ها تنها قابلیت کنترل ۴ درجه آزادی به صورت مستقل (سه درجه‌ی آزادی موقعیت مرکز جرم و یک درجه‌ی آزادی زاویه‌ی یا و وجود دارد[۱۹]). در این پژوهش به منظور دستیابی به شش درجه‌ی آزادی مستقل، ساختار اوکتاروتور مطابق شکل ۱ به نحوی درنظر گرفته می‌شود که چهار روتور آن همانند یک اوکتاروتور متداول جانمایی شده و چهار روتور دیگر بر روی چهار بازو با زاویه‌ی متغیر قرار خواهند گرفت. هر یک از چهار بازوی زاویه‌دار به نحوی جانمایی می‌گردد که یک طرف آن‌ها بر مرکز جرم اوکتاروتور قرار گرفته و با صفحه‌ی چهار بازوی ثابت دارای زاویه‌ای متغیر هستند. با این آرایش، محور دوران چهار روتور قرار گرفته در یک صفحه با یکدیگر موازی بوده و محور هر یک از چهار

نقطه به نقطه فراهم نماید. بدین منظور، ابتدا یک کنترل کننده با خطی‌سازی معادلات حرکت کوادراتور حامل مایع و فرض صلب بودن مایع از طریق جایگذاری مناسب قطب‌ها طراحی شده است[۱۶].

شمس‌الهی و همکاران به سیستمی مرکب از یک کوادراتور و یک بازوی رباتیک سری پرداخته‌اند. ایشان یک الگوریتم تخمین کنترل برای دستیابی به ردیابی مسیر برای کوادراتور ارائه نمودند[۱۷]. لی و همکاران (۲۰۲۱) یک روش مبتنی بر یادگیری تقویتی را برای کنترل یک مولتی روتور در کاربردهای دنیای واقعی پیشنهاد داده‌اند. برای انجام این کار، یک تابع پاداش جدید برای یک مدل شبکه عصبی پیشنهاد شده که بازده انرژی را در نظر می‌گیرد[۱۸].

با توجه به پیشینه‌ی بیان شده در بالا، عمدی پژوهش‌های انجام گرفته در زمینه‌ی مولتی‌روتورها به دو بخش ارائه‌ی ساختار و چیدمان جدید پروانه‌های پرنده و طراحی کنترل کننده‌ی متناسب با کارایی موردنظر از آن، قابل تقسیم می‌باشد. با توجه به افزایش مطالعات در این زمینه در سال‌های اخیر می‌توان به اهمیت این موضوع و لزوم ارتقای سیستم‌های موجود پی برد، بنابراین در این پژوهش نیز به هردو بخش پرداخته شده است. در این پژوهش سعی بر آن است تا با ایجاد ساختاری جدید در پیکره‌بندی روتورهای یک اوکتاروتور و طراحی کنترل کننده‌ی مقاوم به روش یادگیری تقویتی، قابلیت کنترل موقعیت و زاویه‌ی اوکتاروتور به صورت مجزا در پرنده ایجاد شود.

در ادامه، ابتدا به معرفی ساختار و پیکره‌بندی جدید برای یک اوکتاروتور



شکل ۲. آرایش روتورها، نیروی پیشران و گشتاور تولیدی توسط روتورهای اوکتاروتور و نمایش دستگاههای مختصات

**Fig. 2. Rotor configuration, thrust, and torque generated by octorotor rotors and reference frame display**

روتور دیگر راستای متفاوتی با یکدیگر دارند. به منظور ثابت نگهداشتن مرکز

جرم در حین تغییر زوایا، زوایای دو بازوی رو در روی یکدیگر با هم یکسان درنظر گرفته می‌شود. انتظار می‌رود با استفاده از تغییر در سرعت روتورها و زوایای بازوها امکان ایجاد حرکت مستقل در ۶ درجه‌ی آزادی فراهم گردد.

فرضیات:

- طول هر ۸ بازو ( $L_i$ ) با یکدیگر برابر می‌باشد.

- چیدمان بازوها در صفحه‌ی X-Y مطابق شکل ۲ به صورت متقابن و با زوایای  $4\pi / (i - 1)$  می‌باشد.

- چهار بازوی اول، سوم، پنجم و هفتم ثابت هستند  $\beta_1 = \beta_4 = \beta_7 = \beta_8 = 0$ .

- بازویی متفاوتی بازوهایی متغیر که به صورت متقابن مقابله یکدیگر قرار گرفته‌اند، دوبعد دارای سرعت‌های دورانی و زوایای یکسانی هستند. در واقع مطابق شکل ۲،  $\beta_2 = \beta_5 = \beta_x = \beta_d = \beta_y = \beta_z = \alpha_i$  می‌باشد.

- مرکز جرم کل پرنده ثابت و در مرکز هندسی پرنده قرار دارد.

### ۲-۱- دستگاههای مختصات مرجع

همانطور که در شکل ۲ نمایش داده شده است، سه نوع دستگاه مختصات

درنظر گرفته شده است:

- دستگاه مختصات  $F_E$ : به عنوان دستگاه مختصات اینرسی درنظر گرفته شده است.

- دستگاه مختصات  $F_B$ : به عنوان دستگاه مختصات بدنه درنظر گرفته شده است که مرکز آن بر مرکز جرم پرنده منطبق است.

- دستگاه مختصات  $F_{P_i}$ : دستگاه مختصات که مرکز آن‌ها بر مرکز جرم روتورها منطبق است.

به منظور انتقال یک بردار از دستگاه مختصات بدنه به دستگاه مختصات

اینرسی می‌توان از ماتریس انتقال زیر استفاده نمود [۲۰].

دینامیک دورانی سیستم در دستگاه بدنی به صورت زیر بیان می‌گردد [۲۱]:

$$I \dot{\omega} = -\omega \times I \omega + \tau + \tau_{ext} \quad (4)$$

در این رابطه  $I$  ممان اینرسی،  $\tau$  گشتاورهای داخلی،  $\tau_{ext}$  گشتاورهای

ناشی نیروهای خارجی و  $\omega$  سرعت زاویه‌ای  $F_B$  نسبت به است که در دستگاه  $F_B$  نوشته شده است.

گشتاورهای داخلی  $\tau$  به صورت زیر محاسبه می‌گردد:

$$\tau = \tau_{thrust} + \tau_{drag} + \tau_{gyroscopic} \quad (5)$$

که در آن  $\tau_{thrust}$  گشتاور نیروی پیشران،  $\tau_{drag}$  گشتاور پسا و  $\tau_{gyroscopic}$  گشتاور ناشی از اثرات ژیروسکوپی هستند.

نیروی پیشران در دستگاه مختصات مستقر در مرکز جرم روتور به صورت زیر محاسبه می‌گردد.

$${}^p_i F_{thrust_i} = \begin{bmatrix} 0 & 0 & k_f \varpi_i^2 \end{bmatrix}^T \quad (6)$$

در این رابطه  $k_f$  ضریب نیروی پیشران<sup>۱</sup> و  $\varpi_i$  سرعت چرخشی روتور ۱ ام می‌باشد. بنابراین گشتاور نیروهای پیشران در دستگاه بدنی به صورت زیر محاسبه می‌گردد

$${}^B \tau_{thrust} = \sum_{i=1}^8 \left( {}^B P_i \times {}^B R_{P_i} {}^{p_i} F_{thrust_i} \right) \quad (7)$$

گشتاور پسا<sup>۲</sup> در دستگاه مختصات مستقر در مرکز جرم روتور به صورت زیر محاسبه می‌گردد.

$${}^p_i \tau_{drag} = \begin{bmatrix} 0 & 0 & \mu_i k_m \varpi_i^2 \end{bmatrix}^T \quad (8)$$

$$\begin{aligned} {}^E R_B &= {}^R_{z,\psi} {}^R_{y,\theta} {}^R_{x,\varphi} = \\ &\begin{bmatrix} c_\psi s_\theta & c_\psi s_\theta s_\varphi - s_\psi c_\varphi & c_\psi s_\theta c_\varphi + s_\psi s_\varphi \\ c_\theta s_\psi & s_\psi s_\theta s_\varphi - c_\psi c_\varphi & s_\psi s_\theta c_\varphi - c_\psi s_\varphi \\ -s_\theta & c_\theta s_\varphi & c_\theta c_\varphi \end{bmatrix} \end{aligned} \quad (1)$$

در رابطه‌ی بالا نمادهای  $S$  و  $C$  به ترتیب برابر  $\sin$  و  $\cos$  بوده و زوایای  $\varphi$  و  $\psi$  زوایای رول، پیچ و یاوهستند و جهت مثبت آنها براساس قانون دست راست تعیین می‌گردد.

همچنین به منظور انتقال یک بردار از دستگاه مختصات روتورها به دستگاه مختصات بدنی می‌توان از ماتریس انتقال زیر استفاده نمود. لازم به ذکر است در اوکتاروتور پیشنهادی مقدار  $\beta_i$  برای چهار روتور برابر صفر و برای چهار روتور دیگر مقادیر متغیری می‌باشد.

$$\begin{aligned} {}^B R_{P_i} &= {}^R_{z,\alpha_i} {}^R_{y,\beta_i} = \\ &\begin{bmatrix} c_{\alpha_i} & -s_{\alpha_i} & 0 \\ s_{\alpha_i} & c_{\alpha_i} & 0 \\ 0 & 0 & 1 \end{bmatrix} \begin{bmatrix} c_{\beta_i} & 0 & s_{\beta_i} \\ 0 & 1 & 0 \\ -s_{\beta_i} & 0 & c_{\beta_i} \end{bmatrix} \end{aligned} \quad (2)$$

باتوجه به رابطه‌ی (۲) مختصات مرکز جرم روتور ام ( $P_i$ ) در دستگاه به صورت زیر محاسبه می‌گردد.

$${}^B P_i = {}^B R_{P_i} \begin{bmatrix} L_i \\ 0 \\ 0 \end{bmatrix} \quad (3)$$

که در این رابطه  $L_i$  طول بازوی ۱ ام می‌باشد.

### ۳- معادلات دینامیکی

با استفاده از روش استاندارد نیوتن اوبلر برای سیستم‌های دینامیکی، می‌توان معادلات دینامیکی مدل پیشنهادی اوکتاروتور را با در نظر گرفتن نیروها و گشتاورهایی که توسط هر روتور ایجاد می‌شود همراه با اثرات ژیروسکوپی و اینرسی به دست آورد.

۱ propeller thrust coefficient

۲ drag torque

$$m\ddot{X} = m \begin{bmatrix} 0 \\ 0 \\ -g \end{bmatrix} + {}^E R_B {}^B F_{thrust} + f_{ext} \quad (13)$$

در این رابطه توابع  $m$  به عنوان مجموع جرم پرندۀ،  $f_{ext}$  به عنوان نیروی خارجی و  ${}^B F_{thrust}$  به عنوان مجموع نیروی پیشران در دستگاه بدنی به صورت زیر تعریف می‌گردند

$${}^B F_{thrust} = \sum_{i=1}^8 {}^B R_{P_i} {}^{p_i} F_{thrust_i} \quad (14)$$

#### ۴- طراحی کنترلر به روش یادگیری تقویتی

یادگیری تقویتی یکی از روش‌های یادگیری در سیستم‌های هوشمند است که بر اساس رابطه‌ی علت و معلولی عمل می‌کند. در این روش یادگیری، عامل هوشمند با توجه به وضعیتی که در محیط دارد، عملی را بر روی محیط انجام می‌دهد و منتظر نتیجه‌ی عملش می‌ماند، این نتیجه می‌تواند در قالب یک پاداش یا تنبیه باشد. اگر نتیجه در قالب پاداش باشد، عمل انجام شده مطلوب بوده و عامل به هدفی که در آن محیط دارد نزدیک شده است، ولی اگر نتیجه در قالب تنبیه باشد، عمل انجام شده نامطلوب بوده و عامل از هدفش دور شده است. عامل باید یاد بگیرد که چه اعمالی را انجام دهد تا پاداش بیشتری را کسب کند و در نهایت به هدفش برسد.

در واقع هدف از یادگیری تقویتی آموزش یک عامل برای تکمیل یک کار در یک محیط نامشخص است؛ عامل مشاهدات و پاداش را از محیط دریافت می‌کند و اقداماتی را برای محیط ارسال می‌کند و پاداش معیاری است که نشان می‌دهد یک عمل تا چه حد در تکمیل هدف موفق است[۲۳]. دو بخش مهم در روش یادگیری تقویتی شامل خط مشی<sup>۲</sup> و الگوریتم یادگیری است. خط مشی اقدامات را بر اساس مشاهدات از محیط<sup>۳</sup> انتخاب می‌کند و به طور معمول، یک تابع تقریب با پارامترهای قابل تنظیم یا یک شبکه عصبی عمیق است. همچنین الگوریتم یادگیری به طور مداوم پارامترهای خط مشی را بر اساس اقدامات، مشاهدات و پاداش‌ها به روز می‌کند. هدف الگوریتم یادگیری یافتن خط مشی بهینه‌ای است که پاداش انباشته مورد انتظار در درازمدت را به حداقل برساند.

در این رابطه  $k_m$  ضریب پسای روتورها<sup>۱</sup> و  $\mu_i$  تعیین کننده‌ی جهت اعمال گشتاورپسا می‌باشد که برای هر روتور در جهت عکس دوران روتور هست. با توجه به ساختار درنظر گرفته شده برای اوکتاروتور در این پژوهش شکل (۲) بردار  $\mu$  به صورت زیر می‌باشد:

$$\mu = [-1 \ -1 \ 1 \ 1 \ 1 \ -1 \ -1 \ 1] \quad (9)$$

در نتیجه مجموع گشتاورهای پسا در دستگاه بدنی به صورت زیر قابل محاسبه می‌باشد:

$${}^B \tau_{drag} = \sum_{i=1}^8 {}^B R_{P_i} {}^{p_i} \tau_{drag_i} \quad (10)$$

گشتاور ناشی از اثرات ژیروسکوپی در دستگاه بدنی به صورت زیر محاسبه می‌گردد[۲۲].

$${}^B \tau_{gyroscopic} = - \sum_{i=1}^8 \omega \times J_i \bar{\omega}_i \quad (11)$$

که در آن  $J_i$  ممان اینرسی روتور<sup>۱</sup> ام می‌باشد.  
با جایگذاری روابط (۷) و (۹) و (۱۱) در رابطه‌ی (۵)، گشتاورهای داخلی  $\tau$  به صورت زیر محاسبه می‌گردد:

$$\begin{aligned} \tau &= \tau_{thrust} + \tau_{drag} + \tau_{gyroscopic} = \\ &\sum_{i=1}^8 \left( {}^B P_i \times {}^B R_{P_i} {}^{p_i} F_{thrust_i} \right) + \\ &\sum_{i=1}^8 {}^B R_{P_i} {}^{p_i} \tau_{drag_i} - \sum_{i=1}^8 \omega \times J_i \bar{\omega}_i \end{aligned} \quad (12)$$

**۳- دینامیک انتقالی**  
دینامیک انتقالی سیستم در دستگاه اینرسی به صورت زیر بیان می‌گردد[۲۱]:

<sup>1</sup> propeller drag coefficient

<sup>2</sup> policy

<sup>3</sup> environment

## جدول 1. الگوریتم آموزش به روش TD3

**Table 1. TD3-based training algorithm**

الگوریتم TD3

---

- \* مقداردهی اولیه برای شبکه‌های متقد:  $Q_{\mu_i}, Q_{\mu_i^*}$  و شبکه‌ی عملگر  $\pi_\eta$  با پارامترهای تصادفی  $\mu_1, \mu_2, \mu_3$  و  $\mu_4$
- \* مقداردهی اولیه به شبکه‌های هدف  $\mu'_i \leftarrow \mu_i$ ,  $\mu'^*_i \leftarrow \mu_i^*$ ,  $\eta' \leftarrow \eta$
- \* آماده‌سازی فضای ذخیره سازی تجربه‌ها
- \* شروع حلقه‌ی تکرار برای  $t = 1$  to  $T$
- تعیین اکشن بنده همراه نویز اکشافی  $a \sim \pi_\eta(s) + \mathcal{E}$  می‌باشد و به دست آوردن پاداش  $r$  و موقعیت جدید  $s'$
- ذخیره سازی مجموعه‌ی  $B(s, a, r, s')$  در  $B$
- تشکیل یک نمونه‌ی  $N$  تایی از تجربه‌های قلی ذخیره شده در  $B$
- $\mathcal{E} \sim clip(N(0, \tilde{\sigma}), -c, c)$ ,  $\tilde{a} \leftarrow \pi_{\eta'}(s') + \mathcal{E}$
- $h \leftarrow r + \gamma \min_{i=1,2} Q_{\mu'_i}(s', \tilde{a})$
- به روز رسانی پارامترهای شبکه‌ی متقد:  $\mu_i \leftarrow \arg \min_{\mu_i} N^{-1} \Sigma(h - Q_{\mu_i}(s, a))^2$
- اگر شماره‌ی اپیزود  $t$  در مجموعه‌ی  $b$  قراردادته باشد:
- به روز رسانی پارامترهای شبکه‌ی عملگر  $(\eta)$  بوسیله‌ی گرادیان خط مشی قطعی<sup>۴</sup>
- $\nabla_\eta J(\eta) = N^{-1} \sum_a Q_{\mu_i}(s, a) \Big|_{a=\pi_\eta(s)} \nabla_\eta \pi_\eta(s)$
- به روز رسانی پارامترهای شبکه‌های هدف
- $\mu'_i \leftarrow \chi \mu_i + (1-\chi) \mu'_i$
- $\eta' \leftarrow \chi \eta + (1-\chi) \eta'$
- پایان شرط
- \* پایان حلقه‌ی تکرار

## <sup>1</sup> critic networks

## <sup>2</sup> actor network

### <sup>3</sup> exploration noise

#### <sup>4</sup> deterministic policy gradient

می توانند توابع ارزش<sup>۶</sup> را بیش از حد تخمین بزنند و سبب ایجاد خط مشی غیر بهینه شوند. برای کاهش تخمین بیش از حد تابع ارزش، تغییراتی (نظیر آموزش دو تابع ارزش  $Q^1$  و استفاده از مقدار حداقل تابع ارزش در طول بهروزرسانی خطمشی، بهروزرسانی خطمشی با تناوبی کمتر از توابع  $Q$  و اضافه کردن نویز به عامل هدف<sup>۷</sup>) در الگوریتم گرادیان سیاست گرایی قطعی داده شده و الگوریتم گرادیان سیاست گرایی قطعی با تأخیر دوقلو ایجاد شده است. الگوریتم آموزش گرادیان سیاست گرایی قطعی با تأخیر دوقلو در جدول ۱ بیان شده است.<sup>[۲۴]</sup>

در جدول ۱ پارامترهای  $Q_{\mu_1}$ ,  $Q_{\mu_2}$  و  $\pi_{\eta}$  به ترتیب بیانگر شبکه‌های منتقد اول و دوم و شبکه‌ی عملگر می‌باشد. پارامترهای  $\mu_1$ ,  $\mu_2$  و  $\eta$  بیانگر پارامترهای قابل تنظیم شبکه‌های منتقد و شبکه‌ی عملگر می‌باشد و  $\mu'$ ,  $\mu''$ ،

6 value functions

### 7 Q-value

## 8 target action

٤ - ١ - الگوریتم آموزش TD3

در روش یادگیری تقویتی از الگوریتم‌های آموزشی متعددی برای حل مسئله استفاده شده است. در این پژوهش از روش یادگیری گرادیان سیاست گرایی قطعی با تأخیر دوقلو<sup>۱</sup> به منظور آموزش شبکه‌ی عصبی عمیق استفاده شده است. این الگوریتم یک روش یادگیری تقویتی بدون مدل<sup>۲</sup>، برخط<sup>۳</sup> و بدون سیاست<sup>۴</sup> است و یک عامل آن یک عامل یادگیری تقویتی عملگر-منتقد<sup>۵</sup> است که به دنبال یک خط مشی بهینه برای به حداقل رساندن پاداش انباشته درازمدت می‌باشد. در واقع این الگوریتم توسعه ای از الگوریتم گرادیان سیاست گرایی قطعی است. عوامل گرادیان سیاست گرایی قطعی

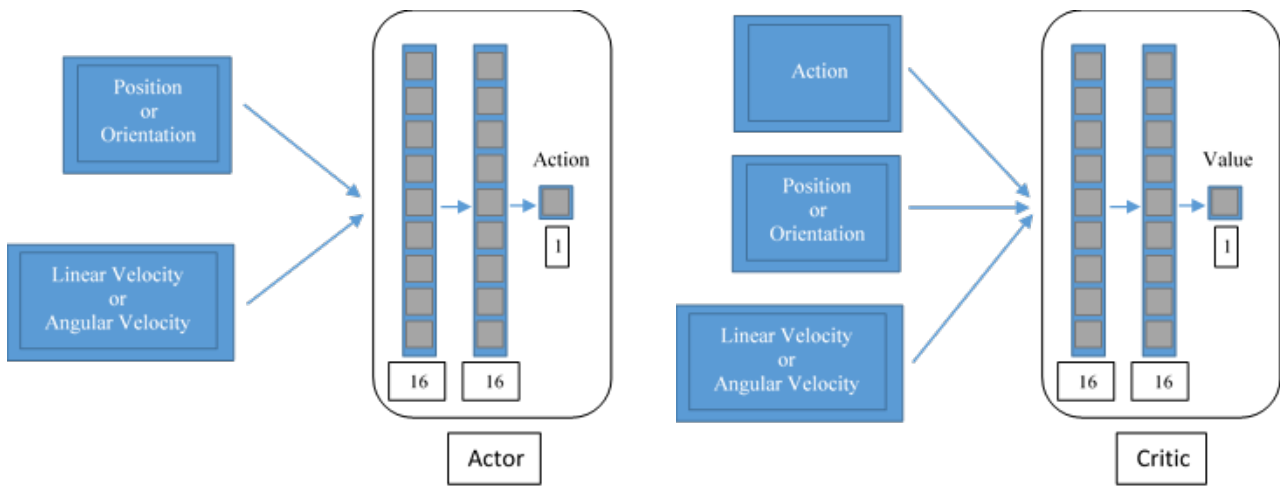
## 1 Twin-Delayed Deep Deterministic Policy Gradient

## 2 model-free

2 modern  
3 online

## 4 off-policy

5 actor-critic



شکل ۳. ساختار شبکه های عملگر و منتقد

Fig. 3. Actor-critic network configuration

و پارامترهای  $\tau_x$ ،  $\tau_y$  و  $\tau_z$  به ترتیب بیانگر گشتاور مورد نیاز حول محورهای X، Y و Z به منظور رسیدن به وضعیت مطلوب می باشد.

به منظور طراحی شبکه ای عصبی و آموزش آن به روش یادگیری تقویتی، برای هر درجه ای آزادی نیاز به یک شبکه ای عملگر و دو شبکه ای منتقد می باشد که مطابق شکل ۳ در نظر گرفته شده است. ساختار هر سه شبکه مشابه هم و به صورت شبکه ای با لایه هی ورودی دارای ۲ نورون شامل دو پارامتر موقعیت در یک راستا و سرعت خطی در همان راستا (یا وضعیت و سرعت دورانی)، دو لایه هی پنهان با ۱۶ نورون و تابع فعال سازی یکسوساز<sup>۱</sup> و لایه هی خروجی با ۱ نورون درنظر گرفته شده است. در شبکه ای عملگر از تابع فعال سازی تانژانت هذلولوی<sup>۲</sup> استفاده شده است و خروجی آن به منظور تعیین نیروی (گشتاور) موردنیاز در راستای مورد نظر به منظور رسیدن به موقعیت (یا وضعیت) هدف استفاده می گردد؛ همچنین از خروجی شبکه های منتقد مطابق الگوریتم بیان شده در جدول ۱ به منظور تخمین تابع ارزش استفاده می شود.

آموزش شبکه به نحوی انجام می گیرد که با فرض قرار گیری پرنده در هر موقعیت و وضعیتی و با هر سرعتی به سمت صفر یا به عبارتی قرار گیری در مبدا دستگاه مختصات هدایت شود و در آن محل به صورت شناور بماند. در هنگام آموزش موقعیت در بازه ای با شاعع ۲ متر و وضعیت در بازه ای با شاعع ۶۰ درجه به صورت تصادفی انتخاب می شوند. نکته ای قابل ذکر در مورد

$\mu$  و  $\eta$  مقادیر تصادفی اختصاص داده شده به آن ها می باشد. S بیانگر فضای حالت فعلی،  $s'$  بیانگر فضای حالت جدید،  $t$  بیانگر میزان پاداش در هر اپیزود،  $h$  بیانگر میزان تابع ارزش،  $a$  بیانگر میزان نویز درنظر گرفته شده،  $\alpha$  بیانگر میزان اکشن و  $\beta$  بیانگر ضریب به روزرسانی پارامترهای شبکه های هدف می باشد.

#### ۴-۲- ساختار کنترلی پیشنهادی

هدف از این پژوهش طراحی یک کنترل کننده شبکه ای عصبی به روش یادگیری تقویتی به منظور کنترل پرنده در ۶ درجه ای آزادی به صورت مستقل است. برای این منظور در مرحله ای آموزش به شبکه های عصبی از روابط کلی زیر به عنوان ۶ رابطه ای دینامیکی مستقل برای درنظر گرفتن محیط آموزش استفاده شده است و ۶ شبکه به صورت مجزا برای کنترل آن ها آموزش داده شده است.

$$m\ddot{X} = \begin{bmatrix} F_x & F_y & F_z \end{bmatrix} \quad (15)$$

$$I\dot{\omega} + \omega \times I\omega = \begin{bmatrix} \tau_x & \tau_y & \tau_z \end{bmatrix} \quad (16)$$

در این روابط، پارامترهای  $F_x$ ،  $F_y$  و  $F_z$  به ترتیب بیانگر نیروی مورد نیاز در راستاهای X، Y و Z به منظور رسیدن به موقعیت مطلوب

1 ReLU

2 Hyperbolic Tangent

بخش ۲ و با محاسبه‌ی برایند نیروها در راستای Z (سطر سوم معادلات) خواهیم داشت:

$$z : \underbrace{\varpi_x^2 (-2k_f \sin \beta_x \sin \theta + 2k_f \cos \beta_x \cos \theta \cos \varphi)}_{p.1} + \underbrace{\varpi_y^2 (2k_f \sin \beta_y \cos \theta \sin \varphi + 2k_f \cos \beta_y \cos \theta \cos \varphi)}_{p.2} + \underbrace{(\varpi_2^2 + \varpi_4^2 + \varpi_6^2 + \varpi_8^2) k_f \cos \theta \cos \varphi}_{p.3} = mg + F_z \quad (19)$$

با فرض این که  $\kappa$  درصد از نیروهای راستای Z توسط روتورهای با زاویه‌ی ثابت و  $(1-\kappa)$  درصد توسط روتورهای ثابت تعیین گردد از سه بخش رابطه‌ی (۱۹) خواهیم داشت:

$$p.1: \varpi_x^2 = \frac{\kappa(mg + F_z)}{-k_f \sin \beta_x \sin \theta + k_f \cos \beta_x \cos \theta \cos \varphi} \quad (20)$$

$$p.2: \varpi_y^2 = \frac{\kappa(mg + F_z)}{k_f \sin \beta_y \cos \theta \sin \varphi + k_f \cos \beta_y \cos \theta \cos \varphi} \quad (21)$$

$$p.3: (\varpi_2^2 + \varpi_4^2 + \varpi_6^2 + \varpi_8^2) = \frac{(1-\kappa)(mg + F_z)}{k_f \cos \theta \cos \varphi} \quad (22)$$

با محاسبه‌ی برایند نیروها در راستای X و Y در معادلات (۱۸) و (۲۰) و (۲۱) خواهیم داشت:

$$\tan \beta_x = \frac{(F_x \cos \theta \cos \psi + F_y \cos \theta \sin \psi - (1-\kappa)(mg + F_z) + (F_x \cos \theta \cos \psi + F_y \sin \theta \sin \psi))}{(1-\kappa)(mg + F_z) + (F_x \cos \theta \cos \psi + F_y \sin \theta \sin \psi)} \quad (23)$$

$$\frac{mg \sin \theta - F_z \sin \theta) \cos \theta \cos \varphi}{\cos \theta \sin \psi - mg \sin \theta - F_z \sin \theta) \sin \theta}$$

این نحوه‌ی آموزش به شبکه این است که این یادگیری سبب ایجاد کنترلر مقاوم در پرنده نیز خواهد شد چراکه عوامل خارجی سبب انحراف پرنده از مسیر هدف شده و شبکه آموزش دیده است از هر موقعیت و وضعیتی و با هر سرعتی به مسیر هدف بازگردد.

تابع پاداش در آموزش نیز به نحوی درنظر گرفته می‌شود که علاوه بر حرکت به سمت هدف با کمترین تلاش کنترلی به هدف دست یابد. به عنوان نمونه برای آموزش در راستای X تابع پاداش به صورت زیر تعریف شده است:

$$r = -\rho(x - x_d)^2 - (1 - \rho)u^2 \quad (17)$$

که در آن  $x_d = 0$  بوده و بیانگر موقعیت هدف در راستای X، پارامتر  $u$  بیانگر تلاش کنترلی در راستای X و  $\rho$  بیانگر ضریب تاثیر می‌باشد. همچنین قابل ذکر است برای موقعیت هدف دیگری به جز مبدامختصات، نیاز به آموزش مجدد شبکه نیست و تنها با ایجاد یک تغییر متغیر در دینامیک مسئله می‌توان پرنده را به سمت اهداف مورد نظر هدایت نمود.

مزیت دیگر این آموزش این است که با توجه به مشابهت ساختار شبکه، رابطه‌ی دینامیکی و هدف کنترلی در ۳ درجه‌ی آزادی انتقالی، می‌توان از شبکه‌ی آموزش داده شده در راستای X برای راستاهای Y و Z نیز استفاده نمود و نیازی به آموزش مجدد در این راستاهای نیست. همچنین از شبکه‌ی آموزش داده شده برای دوران حول محور X می‌توان برای دوران حول محورهای Y و Z نیز استفاده کرد.

#### ۴-۱-۲- محاسبه‌ی سرعت روتورها و زوایای بازوها

در مدل اوکتاروتور پیشنهادی ۶ خروجی نیرو و گشتاور گرفته شده از شبکه‌ها باید مبنای محاسبه‌ی سرعت ۸ روتور اصلی پرنده و زوایای چهار بازو قرار بگیرد. برای این منظور به صورت زیر عمل می‌شود. با توجه به روابط (۱۳) و (۱۵) خواهیم داشت:

$$m \begin{bmatrix} 0 \\ 0 \\ -g \end{bmatrix} + {}^ER_B \left( \sum_{i=1}^8 {}^BR_{P_i} {}^{P_i}F_{thrust_i} \right) + f_{ext} = \begin{bmatrix} F_x \\ F_y \\ F_z \end{bmatrix} \quad (18)$$

با درنظر گرفتن فرضیات مدل درنظر گرفته شده برای اوکتاروتور در

$$\tan \beta_y = \frac{(F_x(\cos \psi \sin \theta \sin \varphi - \sin \psi \cos \varphi) + F_y(\sin \psi \sin \theta \sin \varphi + \cos \psi \cos \varphi))}{(1-\kappa)(mg + F_z) - (F_x(\cos \psi \sin \theta \sin \varphi - \sin \psi \cos \varphi) + (mg + F_z) \cos \theta \sin \varphi \cos \theta \cos \varphi)} \\ + \frac{(mg + F_z) \cos \theta \sin \varphi \cos \theta \cos \varphi}{+ F_y(\sin \psi \sin \theta \sin \varphi + \cos \psi \cos \varphi) + (mg + F_z) \cos \theta \sin \varphi \cos \theta \sin \varphi} \quad (۲۴)$$

$$\varpi_8^2 = \left( \begin{array}{c} -\frac{\tau_y}{k_f L \cos \frac{\pi}{4}} - \frac{\tau_x}{k_f L \cos \frac{\pi}{4}} \\ \frac{\tau_z}{k_m} + \frac{(1-\kappa)(mg + F_z)}{k_f \cos \theta \cos \varphi} \end{array} \right) \Bigg/ 4 \quad (۲۹)$$

درنهایت با استفاده از روابط (۲۰)، (۲۱)، (۲۳)، (۲۴) و (۲۶) تا (۲۹) سرعت‌های دورانی  $\omega$  روتور و زوایای بازوها غیرثابت براساس خروجی شبکه‌های عصبی قابل محاسبه می‌باشد.

## ۵- شبیه‌سازی و نتایج

### ۱- شبیه‌سازی عددی

به منظور اجرای شبیه‌سازی عددی پارامترهای مربوط به اوکتاوتور مطابق جدول ۲ درنظر گرفته شده است. همانطور که بیان شد آموزش شبکه بهنحوی انجام می‌گیرد که با فرض قرارگیری پرنده در هر موقعیت و وضعیتی و با هر سرعتی به سمت صفر یا به عبارتی قرارگیری در مبدا دستگاه مختصات هدایت شود و در آن محل به صورت شناور بماند. هر اپیزود مربوط به آموزش شبکه در ۴ ثانیه که شامل ۴۰۰ گام زمانی است انجام گرفته است. در این پژوهش آموزش کامل شبکه (به منظور پایداری در حالت شناوری) در کمتر از ۲۰۰ هزار گام زمانی برای هر درجه آزادی انجام گرفته است، در حالی که در سایر پژوهش‌ها که از یادگیری تقویتی برای کنترل کوادراتور استفاده کرده اند، نظریه هانگبو و همکاران [۲۵] حدود ۲۱۵۰ میلیون گام زمانی و پیوهنگاران [۱۵] حدود ۱۰ میلیون گام زمانی برای دستیابی به پایداری مناسب در حالت شناوری نیاز داشته اند. در واقع مدل پیشنهادی و مستقل بودن درجات آزادی امکان کاهش ابعاد شبکه نسبت به پژوهش‌های قبلی و درنتیجه کاهش چشمگیر زمان آموزش را فراهم کرده است که از مزیت‌های این پژوهش محاسبه می‌گردد.

همچنین با توجه به روابط (۴) و (۱۲) برای دینامیک اوکتاوتور و رابطه‌ی (۱۶) خواهیم داشت:

$$\sum_{i=1}^8 \left( {}^B P_i \times {}^B R_{P_i} {}^{p_i} F_{thrust_i} \right) + \sum_{i=1}^8 {}^B R_{P_i} {}^{p_i} \tau_{drag_i} {}^B \\ - \sum_{i=1}^8 \omega \times J_i \bar{\omega}_i + \tau_{ext} = \begin{bmatrix} \tau_x \\ \tau_y \\ \tau_z \end{bmatrix} \quad (۲۵)$$

با استفاده از سه معادله‌ی (۲۲) و معادله‌ی (۲۳) یک دستگاه چهار معادله و چهار مجھول خواهیم داشت که نتیجه‌ی آن به صورت زیر خواهد بود:

$$\varpi_2^2 = \left( \begin{array}{c} -\frac{\tau_y}{k_f L \cos \frac{\pi}{4}} + \frac{\tau_x}{k_f L \cos \frac{\pi}{4}} \\ -\frac{\tau_z}{k_m} + \frac{(1-\kappa)(mg + F_z)}{k_f \cos \theta \cos \varphi} \end{array} \right) \Bigg/ 4 \quad (۲۶)$$

$$\varpi_4^2 = \left( \begin{array}{c} \frac{\tau_y}{k_f L \cos \frac{\pi}{4}} + \frac{\tau_x}{k_f L \cos \frac{\pi}{4}} \\ + \frac{\tau_z}{k_m} + \frac{(1-\kappa)(mg + F_z)}{k_f \cos \theta \cos \varphi} \end{array} \right) \Bigg/ 4 \quad (۲۷)$$

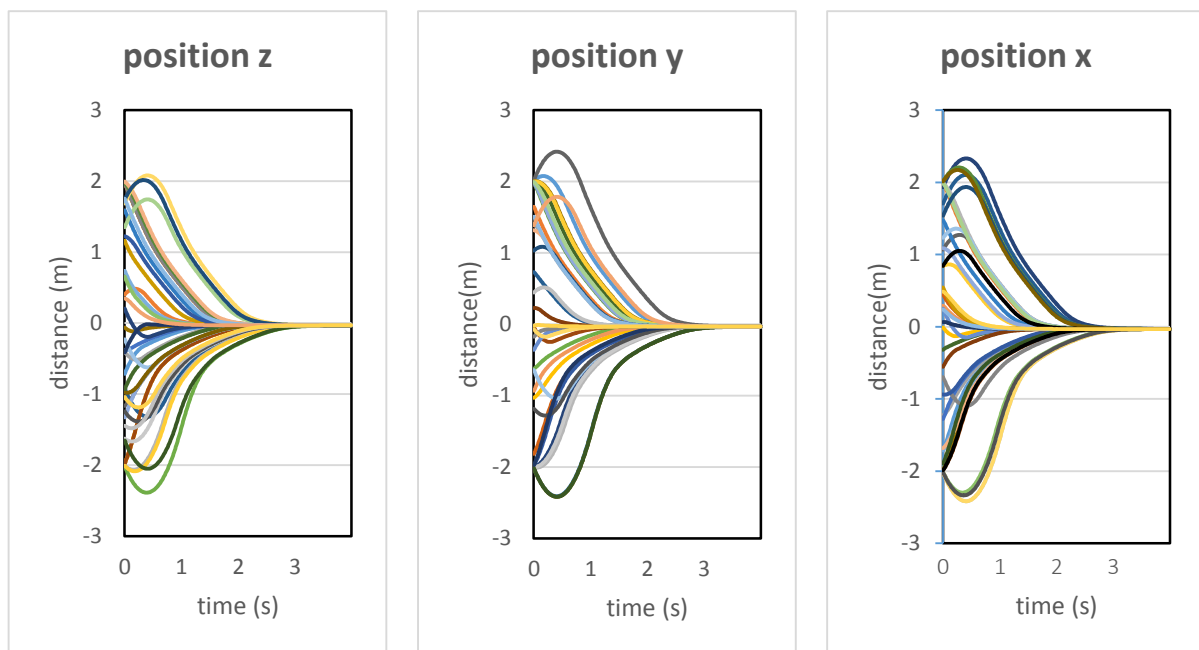
$$\varpi_6^2 = \left( \begin{array}{c} \frac{\tau_y}{k_f L \cos \frac{\pi}{4}} - \frac{\tau_x}{k_f L \cos \frac{\pi}{4}} \\ - \frac{\tau_z}{k_m} + \frac{(1-\kappa)(mg + F_z)}{k_f \cos \theta \cos \varphi} \end{array} \right) \Bigg/ 4 \quad (۲۸)$$

شکل ۴ و ۵ بیانگر هدایت پرنده به سمت قرارگیری در مرکز مختصات

## جدول ۲. پارامترهای اوکتاروتور

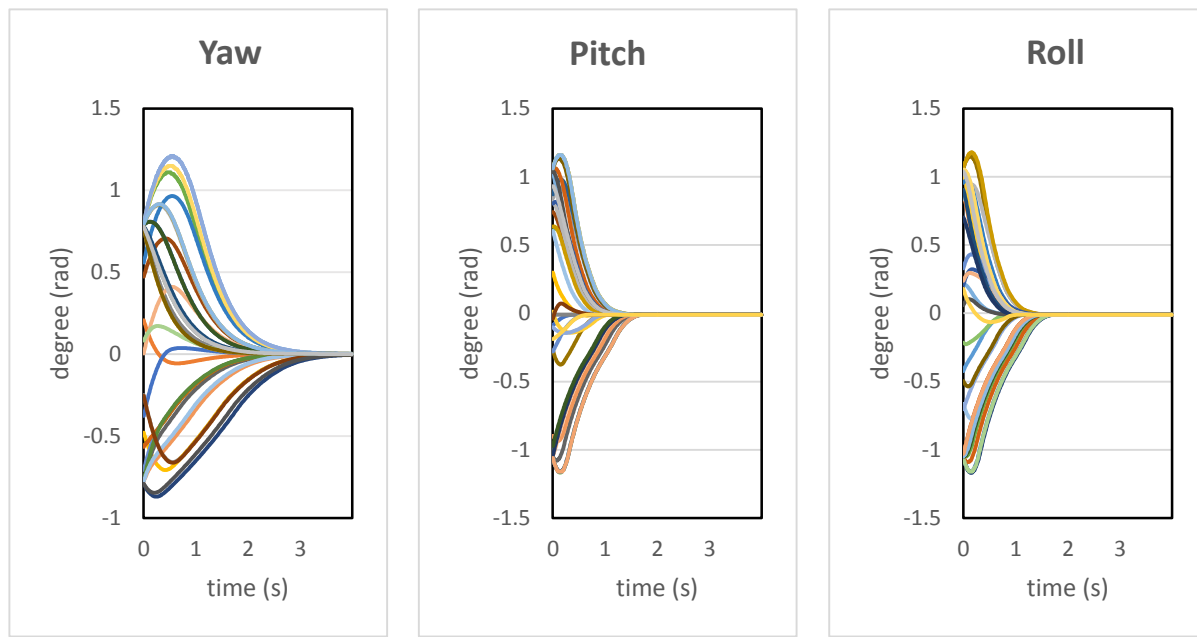
Table 2. Octorotor parameters

مقادیر	پارامترها
$m (kg)$	جرم
$l / 23 (m)$	طول بازوها
$3 / 13 \times 10^{-5} (N.s^2)$	ضریب نیروی پیشران
$7 / 5 \times 10^{-7} (N.m.s^2)$	ضریب پساپ روتورها
$7 / 5 \times 10^{-3} (kg.m^2)$	ممان اینرسی حول محور x
$7 / 5 \times 10^{-3} (kg.m^2)$	ممان اینرسی حول محور y
$1 / 3 \times 10^{-3} (kg.m^2)$	ممان اینرسی حول محور z



شکل ۴. فاصله‌ی محورهای x, y و z اوکتاروتور از مرکز [۰,۰,۰] در مانور معلق ماندن در ۴ ثانیه. نقاط شروع از ۴۰ حالت مختلف با موقعیت و سرعت خطی تصادفی انتخاب شده است.

Fig. 4. The distance of the x, y, and z axes of the octorotor from the origin [0,0,0] in the hovering maneuver within four seconds. Starting points are selected from forty modes with random position and linear velocity



شکل ۵. میزان رول، پیچ ویاو در مانور معلق ماندن در ۴ ثانیه. نقاط شروع از ۴۰ حالت مختلف با وضعیت و سرعت زاویه ای تصادفی انتخاب شده است.

**Fig. 5. The roll, pitch, and yaw rates in the hovering maneuver within four seconds. The starting points are selected from forty modes with random position and angular velocity.**

هدایت سریع پرنده به مسیر هدف از پیش تعیین شده می‌باشد.

موارد مطرح شده در بالا و نتایج ترسیم شده در شکل‌های ۴، ۵ و ۶ بیانگر عملکرد مناسب کنترلر در محیط شبیه‌سازی می‌باشد در حالی که عملکرد پرنده در محیط واقعی می‌تواند تحت تاثیر عوامل مختلفی قرار گرفته و عملکرد مناسبی نداشته باشد. از جمله این عوامل می‌توان به عملکرد ضعیف بازتری، اختلال در سیگنال‌های ارسالی و یا عملکرد معیوب موتورها اشاره نمود، بنابراین برای عملکرد مناسب کنترلر در محیط واقعی باید کنترلر نسبت به این تغییرات مقاوم باشد. با توجه به این که ایجاد این اختلالات را می‌توان باعث عدم اعمال نیروی کافی برای تعییب مسیر از پیش تعیین شده و در نتیجه انحراف از مسیر دانست و توجه به این نکته که آموزش شبکه به نحوی انجام گرفته است که در هر شرایطی (موقعیت و سرعت دلخواه) به سمت هدف هدایت می‌گردد، بنابراین کنترلر پیشنهادی از قابلیت مقاوم بودن در برابر اختلالات بیان شده برخوردار هست.

اگر نتیجه ایجاد اختلال در پرنده را به صورت ضعف در اعمال نیروی لازم تعریف نماییم یا به عبارت دیگر تنها در صدی از نیروهای تعیین شده توسط شبکه در محیط واقعی اعمال شود، نیروی اعمال شده توسط موتورها

و برقراری پایداری در حالت شناوری با شروع از ۴۰ حالت تصادفی می‌باشد. لازم به ذکر است هر شش درجه‌ی آزادی به صورت همزمان و مستقل عمل می‌کند.

به منظور بررسی قابلیت کنترل اوکتاروتوور در مسیرها و جهت‌گیری‌های از پیش تعیین شده، مطابق جدول ۳ برای جایه جایی در راستای محور X از تابع مرتبه دوم، برای جایه جایی در راستای محورهای Y و Z از توابع خطی و برای رول و پیچ از توابع پله و برای یاو از تابع ثابت برای تعیین مسیر از پیش تعیین شده استفاده شده است که هر شش درجه‌ی آزادی باید به صورت همزمان و مستقل آن‌ها را تعییب نمایند.

نمودارهای ترسیم شده در شکل ۶ بیانگر قابلیت اوکتاروتوور پیشنهادی در کنترل مستقل شش درجه‌ی آزادی در مسیرها و جهت‌گیری‌های مطرح شده در جدول ۳ در طی ۱۰ ثانیه می‌باشد که در واقع ثابت‌کننده‌ی قابلیت‌های ساختار و کنترلر پیشنهادی برای اوکتاروتوور هست. بیشترین میزان انحراف در شکل ۶ (الف) مربوط به انحراف پرنده در راستای X از مسیر تعیین شده در ثانیه‌ی ۸ می‌باشد که به دلیل تغییر ناگهانی سرعت از پیش تعیین از  $-1/33$  به صفر (مطابق جدول ۳) می‌باشد، نمودار ترسیم شده بیانگر قابلیت کنترلر در

### جدول ۳. مسیرها و جهت‌گیری‌های از پیش تعیین شده برای اوکتاورتور

Table 3. Preset trajectories and orientations for the octorotor

جایه‌جایی در راستای محور Z:	جایه‌جایی در راستای محور Y:	جایه‌جایی در راستای محور X:
$\begin{cases} z = \cdot \\ \dot{z} = \cdot \end{cases} \quad t < 1$ $\begin{cases} z = \cdot / \Delta t - \cdot / \Delta \\ \dot{z} = \cdot / \Delta \end{cases} \quad 1 \leq t < 3$ $\begin{cases} z = 1 \\ \dot{z} = \cdot \end{cases} \quad 3 \leq t < 6$ $\begin{cases} z = -\cdot / \Delta t + 4 \\ \dot{z} = -\cdot / \Delta \end{cases} \quad 6 \leq t < 8$ $\begin{cases} z = \cdot \\ \dot{z} = \cdot \end{cases} \quad t \geq 8$	$\begin{cases} y = \cdot \\ \dot{y} = \cdot \end{cases} \quad t < 4$ $\begin{cases} y = \cdot / 2\Delta t - 1 \\ \dot{y} = \cdot / 2\Delta \end{cases} \quad 4 \leq t < 6$ $\begin{cases} y = -\cdot / 2\Delta t + 2 \\ \dot{y} = -\cdot / 2\Delta \end{cases} \quad 6 \leq t < 8$ $\begin{cases} y = \cdot \\ \dot{y} = \cdot \end{cases} \quad t \geq 8$	$\begin{cases} x = \cdot \\ \dot{x} = \cdot \end{cases} \quad t < 2$ $\begin{cases} x = \frac{-t^2 + 1 \cdot t - 16}{4/\Delta} \\ \dot{x} = \frac{-2t + 1 \cdot}{4/\Delta} \end{cases} \quad 2 \leq t < 8$ $\begin{cases} x = \cdot \\ \dot{x} = \cdot \end{cases} \quad t \geq 8$
دوران حول محور Z:	دوران حول محور Y:	دوران حول محور X:
$\begin{cases} \psi = \cdot \\ \dot{\psi} = \cdot \end{cases} \quad \cdot \leq t \leq 10$	$\begin{cases} \theta = \cdot \\ \dot{\theta} = \cdot \end{cases} \quad t < 4$ $\begin{cases} \theta = \frac{15 * \pi}{180} \\ \dot{\theta} = \cdot \end{cases} \quad 4 \leq t < 7$ $\begin{cases} \theta = \cdot \\ \dot{\theta} = \cdot \end{cases} \quad t \geq 7$	$\begin{cases} \varphi = \cdot \\ \dot{\varphi} = \cdot \end{cases} \quad t < 2$ $\begin{cases} \varphi = \frac{30 * \pi}{180} \\ \dot{\varphi} = \cdot \end{cases} \quad 2 \leq t < 5$ $\begin{cases} \varphi = \cdot \\ \dot{\varphi} = \cdot \end{cases} \quad t \geq 5$

### ۳-۵- شبیه‌سازی سخت افزار در حلقه:

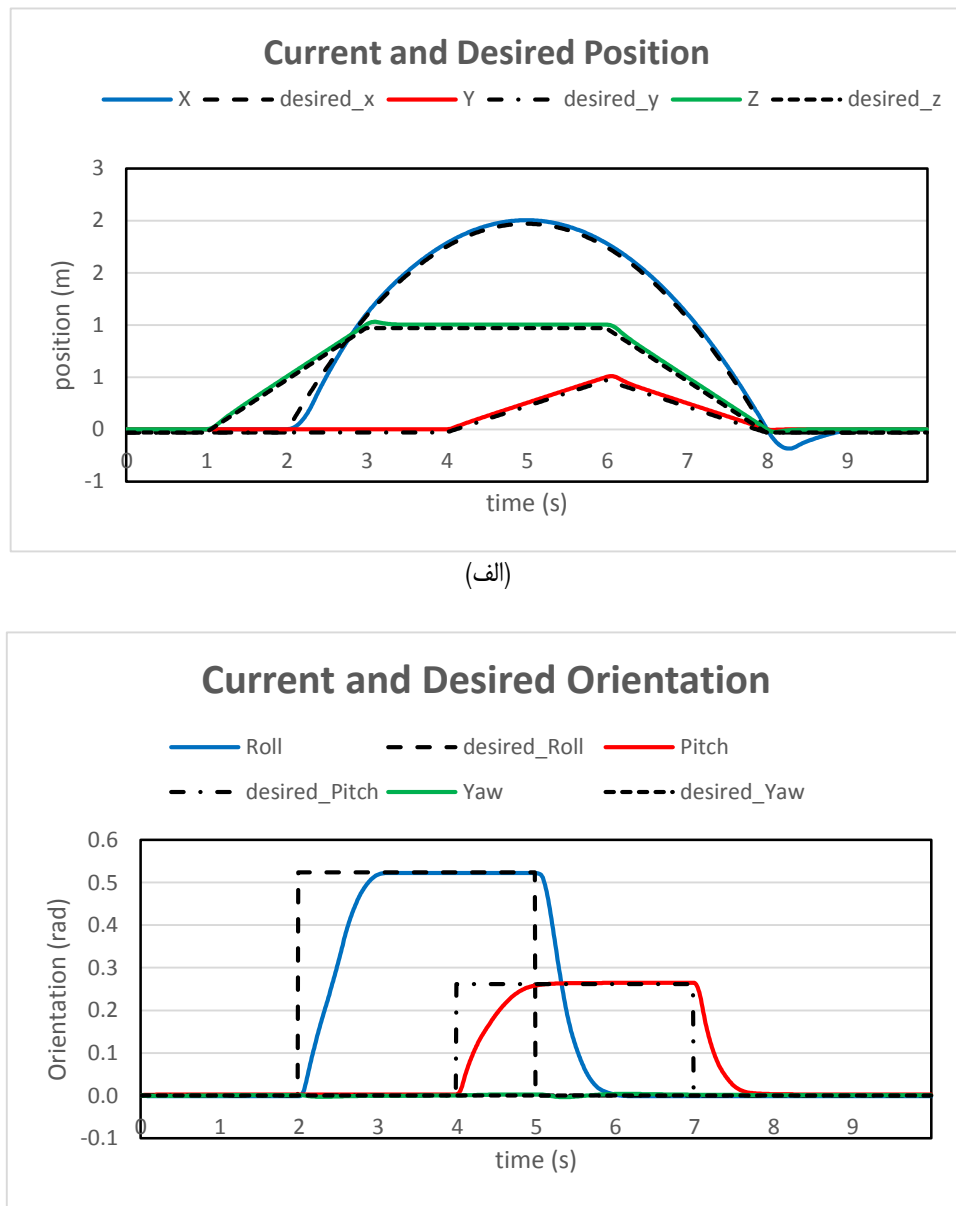
به صورت رابطه‌ی زیر تعیین می‌گردد[۱۵].

ایده اصلی شبیه‌سازی سخت افزار در حلقه، به قراردادن یک یا چند زیر سیستم از یک سامانه به صورت سخت افزار واقعی در حلقه‌ی شبیه‌سازی مربوط می‌شود. مزیت عمدۀ این روش این است که بدون نیاز به ساخت تمام اجزای سیستم، می‌توان سیستم کنترل را در شرایطی تا حد امکان واقعی مورد آزمایش قرار داد و چون به جای برخی از زیر سیستم‌ها، سخت افزار واقعی قرار گفته است، نتایج شبیه‌سازی به عملکرد واقعی سیستم نزدیک‌تر خواهد بود و در نتیجه می‌توان از ریسک و هزینه‌ی آزمایش‌هایی که ممکن است ناموفق باشند، جلوگیری کرد.

در این پژوهش به منظور اجرای یک تست ساده‌ی سخت افزار در حلقه، دینامیک پرنده با درنظر گرفتن دینامیک موتورها به صورت روابط ریاضی

$$\begin{bmatrix} F_{x_{real}} & F_{y_{real}} & F_{z_{real}} \end{bmatrix} = C \begin{bmatrix} F_x & F_y & F_z \end{bmatrix} \quad (30)$$

که در آن  $F_x$ ,  $F_y$  و  $F_z$  بیانگر نیروهای اعمال شده در محیط واقعی و  $C$  بیانگر درصد انتقال نیرو می‌باشد. شکل ۷ نمودار مربوط به حالت انتقال پرنده در راستای محور Z به میزان ۲ متر در ۴ ثانیه به ازای مقادیر مختلف C می‌باشد که بیانگر مقاوم بودن کنترل طراحی شده در برابر اختلالات ایجاد شده در محیط واقعی هست.



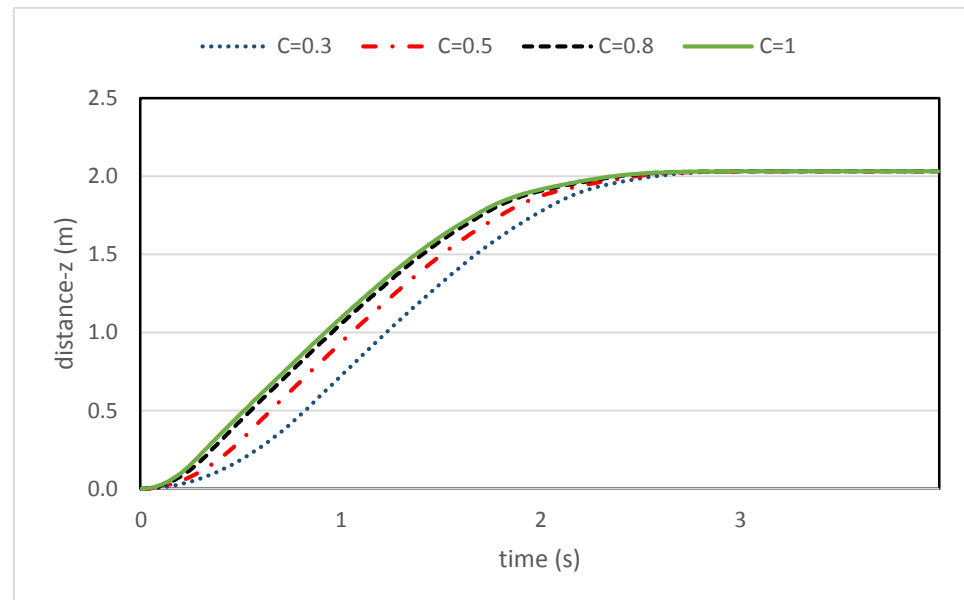
شکل ۶. نمودارهای تعییب مسیر (الف) و جهت‌گیری (ب) اوکتاورتور در شش درجه‌ی آزادی مستقل

Fig. 6. (a) Trajectory tracking and (b) orientation graphs of the octorotor in independent 6-DoF

می‌گردد (شکل ۸). همچنین به منظور شبیه‌سازی عملکرد موتورها از رابطه‌ی (۳۱) به عنوان دینامیک موتورها استفاده شده است.

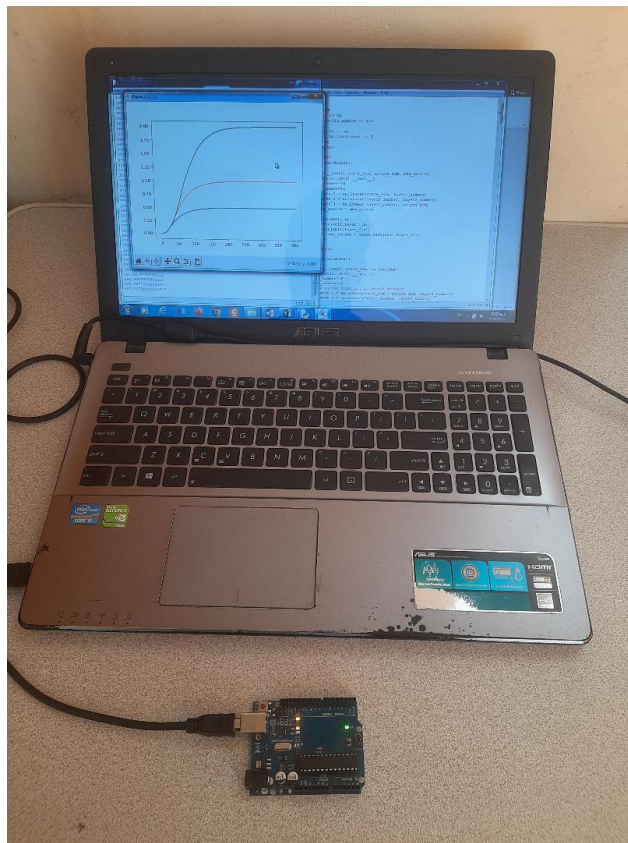
$$\frac{d\omega_i}{dt} = K_\omega (\omega_i^{\text{des.}} - \omega_i) \quad (31)$$

شبیه‌سازی شده و بر روی یک بورد الکترونیکی آپلود شده است؛ از طرفی کنترل کننده‌ی طراحی شده در پایتون بر روی یک لپ‌تاپ قرار دارد و تست رهگیری مسیر از پیش‌تعیین شده بوسیله‌ی برقراری ارتباط سریال بین پایتون (کنترل کننده) و آردوبینو (دینامیک پرنده) انجام گرفته است. بورد الکترونیکی مورد استفاده در این پژوهش از نوع آردوبینو با تراشه‌ی ATmega328P می‌باشد که از طریق یک کابل سریال به لپ‌تاپ متصل



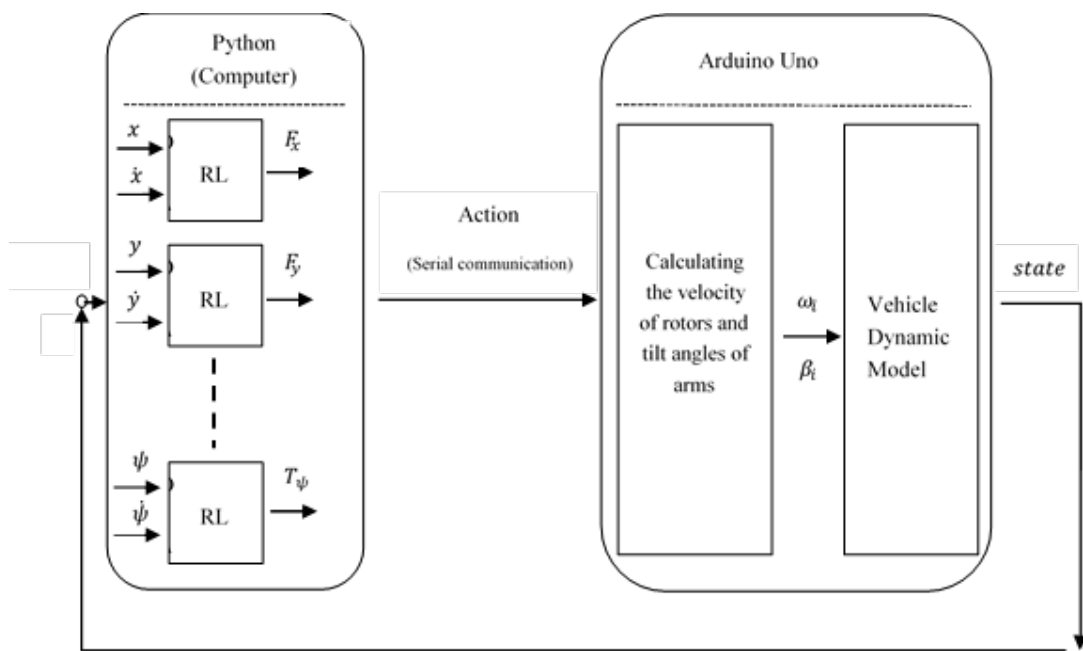
شکل ۷. میزتاییر مقادیر مختلف در جابه‌جایی اوکتاوتور در راستای محور z

Fig. 7. The effect of different values of C on octorotor transmission along the z-axis



شکل ۸. ساخت افزار در حلقه

Fig. 8. Hardware in the loop



شکل ۹. بلوک دیاگرام ساخت افزار در حلقه

Fig. 9. Block diagram of hardware in the loop

دینامیک پرنده می‌باشد.

که در این رابطه، پارامتر  $K_{\omega} = 20 \text{ s}^{-1}$  بیانگر تاخیر زمانی موتورها،

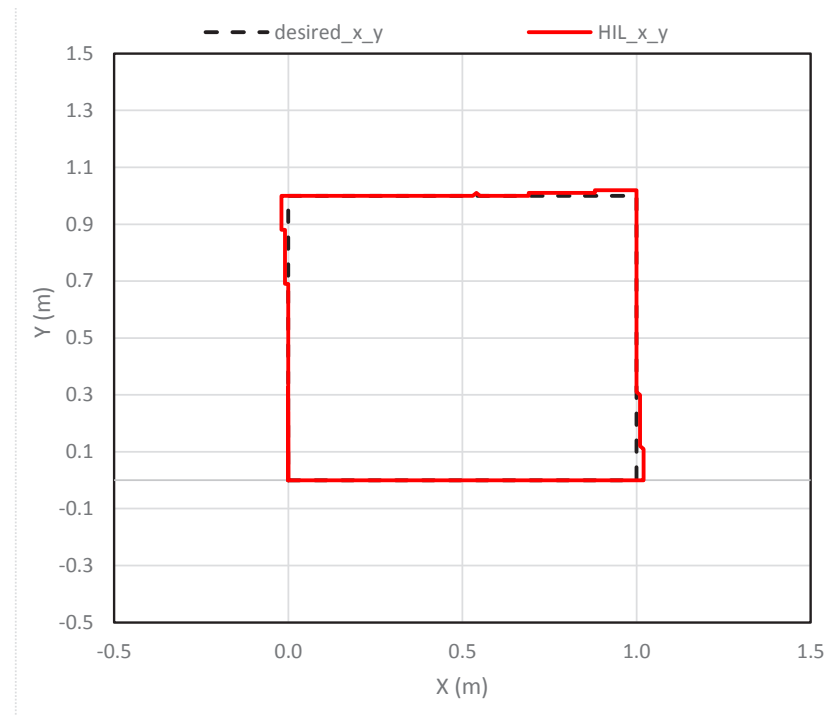
$\omega_i^{\text{des}}$  بیانگر سرعت زاویه‌ای مطلوب روتور آم و  $\omega_i$  بیانگر سرعت

زاویه‌ای ایجاد شده توسط موتورها می‌باشد.

همان‌طور که در شکل ۹ نمایش داده شده است. نیروهای مورد نیاز در شش درجه‌ی آزادی برای رهگیری مسیر توسط کامپیوتر و پایتون تعیین شده و به صورت یکجا به عنوان یک رشته از طریق پورت سریال به بورد آردوینو ارسال می‌گردد. نیروهای بازویه‌ای متغیر قرار گرفته و سپس به دینامیک پرنده اعمال شده و موقعیت جدید پرنده تخمین زده می‌شود و در نهایت ۱۲ پارامتر شامل موقعیت، وضعیت، سرعت‌های انتقالی و دورانی پرنده به صورت یکجا به عنوان یک رشته به پایتون ارسال می‌گردد. این فرایند به صورت یک حلقه ادامه خواهد داشت و رهگیری مسیر از پیش تعیین شده مورد ارزیابی قرار می‌گیرد.

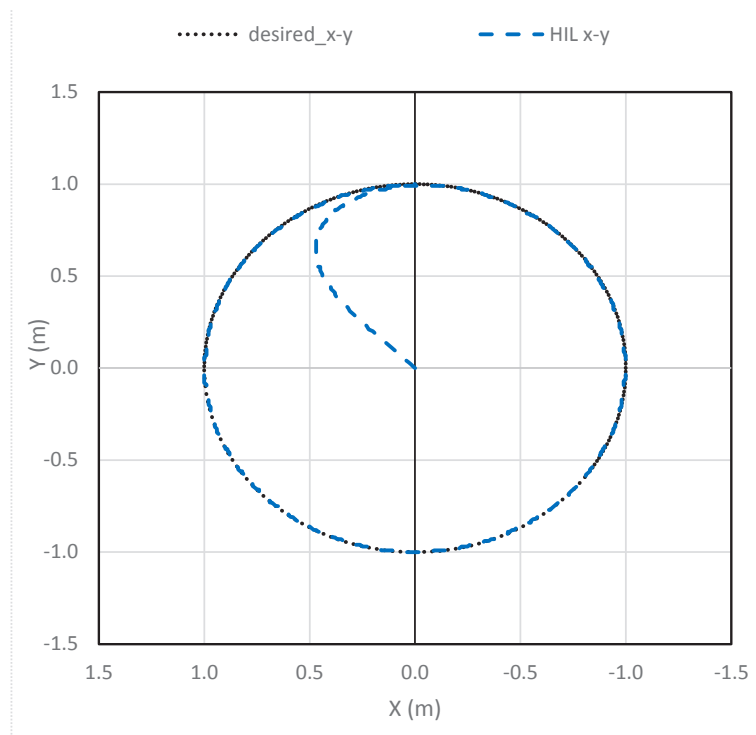
شکل ۱۰ و شکل ۱۱ به ترتیب نمودار تعقیب میسر مربعی‌شکل و دایره‌ای شکل را نمایش می‌دهد که بیانگر صحت عملکرد کنترل کننده در تست ساخت افزار در حلقه با وجود تاخیرات ارسال و دریافت اطلاعات از طریق پورت سریال و در نظر گرفتن دینامیک موتورها در شبیه‌سازی

در این پژوهش یک ساختار و پیکربندی جدید برای یک اوکتا‌روتور ارائه شده است به نحوی که چهار روتور آن همانند یک اوکتا‌روتور متداول جانمایی شده و چهار روتور دیگر بر روی چهار بازو با زاویه‌ی متغیر قرار خواهند گرفت. از قابلیت‌های این پیکربندی افزودن قابلیت دنبال کردن جهت‌گیری به اهداف پرنده علاوه بر دنبال کردن موقعیت می‌باشد. همچنین کنترل کننده‌ای بوسیله‌ی شبکه‌های عصبی و روش یادگیری تقویتی برای این پرنده طراحی شده که علاوه بر قابلیت کنترل اوکتا‌روتور در شش درجه‌ی آزادی مستقل از قابلیت مقاوم بودن در برابر اختلالات یک یا چند موتور نیز برخوردار است. بواسطه‌ی مستقل بودن درجهات آزادی، ابعاد شبکه‌ی درنظر گرفته شده برای این کنترلر نسبت به پژوهش‌های مشابه کوچکتر بوده و زمان آموزش نیز به صورت چشمگیری کاهش یافته است؛ بدون این که از قابلیت‌ها و دقت کنترل طراحی شده کاسته شود. نمودارهای ترسیم شده در این مقاله به خوبی بیانگر قابلیت‌های پیکربندی و کنترل طراحی شده می‌باشد و می‌توان از آن به منظور استفاده در پرنده‌های واقعی بهره‌گرفت.



شکل ۱۰. تعقیب مسیر مربعی شکل در تست سخت‌افزار در حلقه

Fig. 10. Square-shaped trajectory tracking in HIL testing



شکل ۱۱. تعقیب مسیر دایره‌ای شکل در تست سخت‌افزار در حلقه

Fig. 11. Circular -shaped trajectory tracking in HIL testing

## منابع

- 2018, pp. 281-286.
- [11] V.M. Arellano-Quintana, E.A. Portilla-Flores, E.A. Merchán-Cruz, Multi-objective design optimization of a hexa-rotor with disturbance rejection capability using an evolutionary algorithm, *IEEE Access*, 6 (2018) 69064-69074.
- [12] A. Erasmus, H. Jordaan, Robust adaptive control of a multirotor with an unknown suspended payload, *IFAC-PapersOnLine*, 53(2) (2020) 9432-9439.
- [13] T. Chen, J. Shan, A novel cable-suspended quadrotor transportation system: From theory to experiment, *Aerospace Science and Technology*, 104 (2020) 105974.
- [14] S. Kase, M. Oya, Adaptive tracking controller for hexacopters with a wind disturbance, *Artificial Life and Robotics*, 25(2) (2020) 322-327.
- [15] C.-H. Pi, K.-C. Hu, S. Cheng, I.-C. Wu, Low-level autonomous control and tracking of quadrotor using reinforcement learning, *Control Engineering Practice*, 95 (2020) 104222.
- [16] A. Soltani, A. H. Vahidi Bajestani, M. Goharkhah, Point to Point Control of a Liquid Carrying Quadrotor, *AUT Journal of Mechanical Engineering*, 54(4) (2022) 727-746. (In Persian)
- [17] H. Shamsollahi, F. Rekabi, F.A. Shirazi, M.J. Sadigh, Control of a Quadrotor Equipped with Robotic Arm Based on Disturbance Estimation, *AUT Journal of Mechanical Engineering*, 54 (2022) 768-747. (In Persian)
- [18] H. Lee, M. Jeong, C. Kim, H. Lim, C. Park, S. Hwang, H. Myung, Low-level Pose Control of Tilting Multirotor for Wall Perching Tasks Using Reinforcement Learning, in: 2021 IEEE/RSJ International Conference on Intelligent Robots and Systems (IROS), IEEE, 2021, pp. 9669-9676.
- [19] S. Rajappa, M. Ryll, H.H. Bühlhoff, A. Franchi, Modeling, control and design optimization for a fully-actuated hexarotor aerial vehicle with tilted propellers, in: 2015 IEEE international conference on robotics and automation (ICRA), IEEE, 2015, pp. 4006-4013.
- [20] A. Nemati, M. Kumar, Modeling and control of a single axis tilting quadcopter, in: 2014 American Control
- [1] G. Barbaraci, Modeling and control of a quadrotor with variable geometry arms, *Journal of Unmanned Vehicle Systems*, 3(2) (2015) 35-57.
- [2] D. Brescianini, R. D'Andrea, Design, modeling and control of an omni-directional aerial vehicle, in: 2016 IEEE international conference on robotics and automation (ICRA), IEEE, 2016, pp. 3261-3266.
- [3] Y. Tadokoro, T. Ibuki, M. Sampei, Maneuverability analysis of a fully-actuated hexrotor UAV considering tilt angles and arrangement of rotors, *IFAC-PapersOnLine*, 50(1) (2017) 8981-8986.
- [4] D. Invernizzi, M. Lovera, Geometric tracking control of a quadcopter tiltrotor UAV, *IFAC-PapersOnLine*, 50(1) (2017) 11565-11570.
- [5] D. Invernizzi, M. Giurato, P. Gattazzo, M. Lovera, Full pose tracking for a tilt-arm quadrotor UAV, in: 2018 IEEE Conference on Control Technology and Applications (CCTA), IEEE, 2018, pp. 159-164.
- [6] E.J. Alvarez, A. Ning, High-fidelity modeling of multirotor aerodynamic interactions for aircraft design, *AIAA Journal*, 58(10) (2020) 4385-4400.
- [7] H. Zhu, H. Nie, L. Zhang, X. Wei, M. Zhang, Design and assessment of octocopter drones with improved aerodynamic efficiency and performance, *Aerospace Science and Technology*, 106 (2020) 106206.
- [8] S. Sridhar, R. Kumar, M. Radmanesh, M. Kumar, Non-linear sliding mode control of a tilting-rotor quadcopter, in: Dynamic Systems and Control Conference, American Society of Mechanical Engineers, 2017, pp. V001T009A007.
- [9] S. Zeghlache, H. Mekki, A. Bouguerra, A. Djérioui, Actuator fault tolerant control using adaptive RBFNN fuzzy sliding mode controller for coaxial octorotor UAV, *ISA transactions*, 80 (2018) 267-278.
- [10] K. Hu, Q. Wu, Y. Li, W. Chen, Quadrator QFT Control Based on Model Reduction Method, in: 2018 5th International Conference on Information, Cybernetics, and Computational Social Systems (ICCSS), IEEE,

- Advanced Intelligent Mechatronics (AIM), IEEE, 2020, pp. 1648-1653.
- [24] S. Fujimoto, H. Hoof, D. Meger, Addressing function approximation error in actor-critic methods, in: International conference on machine learning, PMLR, 2018, pp. 1587-1596.
- [25] J. Hwangbo, I. Sa, R. Siegwart, M. Hutter, Control of a quadrotor with reinforcement learning, IEEE Robotics and Automation Letters, 2(4) (2017) 2096-2103.
- Conference, IEEE, 2014, pp. 3077-3082.
- [21] N. Osmić, M. Kurić, I. Petrović, Detailed octorotor modeling and PD control, in: 2016 IEEE International Conference on Systems, Man, and Cybernetics (SMC), IEEE, 2016, pp. 002182-002189.
- [22] M. Mikkelsen, Development, modelling and control of a multirotor vehicle, in, 2015.
- [23] Y.-W. Dai, C.-H. Pi, K.-C. Hu, S. Cheng, Reinforcement learning control for multi-axis rotor configuration UAV, in: 2020 IEEE/ASME International Conference on

چگونه به این مقاله ارجاع دهیم

D. Sharifi, M. Irani Rahaghi, K. Torabi, H. Shahbazi, Reinforcement learning-based controller design for a proposed octorotor with tilt-arm angles , Amirkabir J. Mech Eng., 55(10) (2024) 1175-1194.

DOI: [10.22060/mej.2024.21904.7538](https://doi.org/10.22060/mej.2024.21904.7538)



